

**УПРАВЛЯЮЩИЕ
СИСТЕМЫ
И МАШИНЫ**

5, 1973

ОТДЕЛЬНЫЙ ОТТИСК

ИЗДАТЕЛЬСТВО „НАУКОВА ДУМКА“, КИЕВ

*М. М. Гураш, В. В. Ермак, Д. И. Зарудный,
С. Г. Русаков*

УДК 681.3.01 : 51

Применение метода многополюсных подсхем в программах анализа электрических характеристик больших интегральных схем

Совершенствование технологических методов изготовления интегральных схем, позволяющее повысить уровень их интеграции, приводит к увеличению доли больших интегральных схем (БИС) в общем объеме производства полупроводниковых ИС. Переход к БИС связан с существенным усложнением схемных конфигураций, анализ которых может быть выполнен только с применением ЭЦВМ. Перед разработчиками программ машинного анализа схем возникают принципиально новые задачи, так как расчет БИС по сравнению со схемами среднего уровня интеграции требует значительных объемов памяти и более высокого быстродействия ЦВМ.

Эти задачи могут быть решены на современных ЦВМ при использовании метода многополюсных подсхем [1]. В настоящей статье описывается алгоритм моделирования электрических характеристик нелинейных многокомпонентных схем, базирующийся на многополюсном представлении отдельных участков схемы и позволяющий автоматически формировать уравнения, описывающие как работу таких подсхем, так и всей схемы. В результате применения данного алгоритма в программах анализа интегральных схем сокращаются требуемые объемы памяти и затраты машинного времени, а также упрощается описание математической модели всей схемы.

Представление моделей компонентов схемы в программах анализа нелинейными многополюсниками (вместо замещения их двухполюсными элементами) исключает традиционные построения дерева графа [2]. Автоматическое составление уравнений в этом случае сводится к автоматическому формированию на каждом итерационном шаге матриц, непосредственно участвующих в вычислительном процессе. При описании модели схемы методом узловых потенциалов исходная информация для автома-

тического формирования задается только цепочисленной матрицей межсоединений компонентов. Если в процессе вычислений матрицы, соответствующие как всей схеме, так и подсхемам, формируются автоматически, то можно говорить о полной автоматизации составления математической модели схемы.

В статье рассмотрены вопросы построения математической модели схемы при автоматическом составлении моделей многополюсных подсхем. При расчете нелинейных схем обычно используются матрицы производных по переменным состояния схемы [1, 2]. Для автоматического формирования этих матриц в работе применяются методы расчета коэффициентов влияния по переменным, определяющим режимы работы подсхем.

Рассмотрим общую последовательность вычислительных шагов для формирования нужных матриц (на примере расчета статических режимов). Пусть система уравнений

$$G(X, X_{\text{ви}}) = 0 \quad (1)$$

описывает статический режим работы подсхемы или схемы методом узловых потенциалов. Здесь G — вектор узловых токов, X — вектор узловых потенциалов, $X_{\text{ви}}$ — вектор потенциалов на полюсах подсхемы или схемы.

Если система уравнений (1) решается одним из методов ньютоновского типа, то на каждом шаге итерационного процесса требуется формировать матрицы узловых токов G и проводимостей $\frac{\partial G}{\partial X}$. Эти матрицы получаются

в результате последовательного обращения к моделям компонентов следующим образом. С помощью матрицы межсоединений M (пример матрицы M показан на рис. 1, б, где каждый элемент m_{ij} представляет собой номер узла, к которому подключен j -й вывод i -го компонента) на выводах данного компонента задается

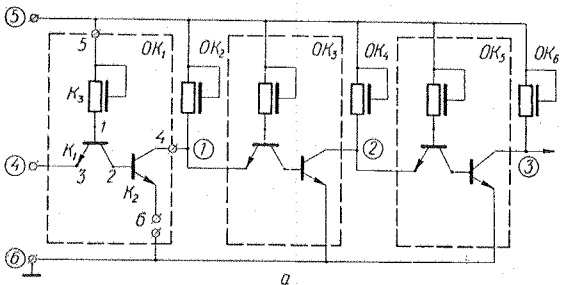


Рис. 1

	4	1	5	6
2	3	1	5	0
4	6	2	2	6
1	5	5	3	5
6	5	0	5	0

	4	1	5	6
2	3	1	5	0
4	6	2	2	6
1	5	5	3	5
6	5	0	5	0

вектор напряжений. По вектору напряжений в блоке модели компонента вычисляются токи через выводы и их производные по напряжениям на выводах. Далее, с помощью той же матрицы M вычисленные значения используются в формировании соответствующих им элементов матриц G и $\frac{\partial G}{\partial X}$.

Та же последовательность при формировании матриц сохраняется и для большой схемы, но при этом в роли компонента выступает уже многополюсная подсхема, которую в дальнейшем будем называть обобщенным компонентом (ОК). Пусть для расчета статического режима сложной схемы итерационным методом ньютоновского типа решается система трансцендентных уравнений

$$F(Y) = 0, \quad (2)$$

где Y — вектор узловых потенциалов размерности N (потенциалов во внешних по отношению к каждому из ОК узлах). Простейший пример разбиения схемы на ОК приведен на рис. 1, а.

На каждом итерационном шаге для схемы также необходимо вычислять матрицы узловых токов F и производных $\frac{\partial F}{\partial Y}$. Эти матрицы при автоматизированном расчете схемы формируются аналогично матрицам G и $\frac{\partial G}{\partial X}$, т. е. необходимо знать токи через полюса подсхем и их производные по напряжениям на полюсах. Так, для последовательной схемы типа регистра, содержащей $N+1$ одинаковых ОК (рис. 2), после обращения к одному из ОК (например, OK_2) требуется найти величины:

$$I_1, I_2, \frac{\partial I_1}{\partial y_1}, \frac{\partial I_1}{\partial y_2}, \frac{\partial I_2}{\partial y_1}, \frac{\partial I_2}{\partial y_2}.$$

Вектор токов I через выводы ОК находится в результате решения системы трансцендентных уравнений (1), описывающих модель ОК. Компоненты матрицы производных $\frac{\partial F}{\partial Y}$, соответствующие данному ОК, определяются выражением

$$\frac{dI}{dy} = \frac{\partial I}{\partial X} \cdot \frac{\partial X}{\partial y} + \frac{\partial I}{\partial y}. \quad (3)$$

Матрица коэффициентов влияния $\frac{\partial X}{\partial y}$ получается из решения матричной системы линейных уравнений после окончания итерационного процесса решения системы (1):

$$\frac{\partial G}{\partial X} \cdot \frac{\partial X}{\partial y} + \frac{\partial G}{\partial y} = 0. \quad (4)$$

Следует отметить, что матрица узловых проводимостей обобщенного компонента $\frac{\partial G}{\partial X}$ уже известна, так как она вычисляется на каждом шаге итерационного процесса решения системы (1); матрица проводимостей $\frac{\partial G}{\partial y}$ формируется одновременно с $\frac{\partial G}{\partial X}$. Таким образом, после обращения ко всем обобщенным компонентам без существенных дополнительных вычислительных затрат будут найдены все элементы матриц

$$F(Y^{(k)}), \left(\frac{\partial F}{\partial Y} \right)^{(k)}$$

и может быть определено следующее приближение $Y^{(k+1)}$. Исходная информация о принципиальной схеме задается, как уже указывалось, матрицами межсоединений M_k для обобщенных компонентов ($k=1, 2, \dots, p$, где p — число различных по конфигурации ОК) и матрицей межсоединений S для всей схемы. Элемент S_{ij} матрицы представляет собой номер узла схемы, к которому подключен j -й вывод i -го ОК. Пример матриц M и S для схемы (рис. 1, а) представлен на рис. 1, б и 1, в. Указанный способ автоматического формирования матриц узловых токов и проводимостей как для всей схемы, так и для ее подсхем означает по существу автоматическое составление уравнений состояния сложной схемы при автоматическом составлении моделей входящих в нее ОК.

Алгоритм расчета статических режимов методом узловых потенциалов при автоматическом составлении

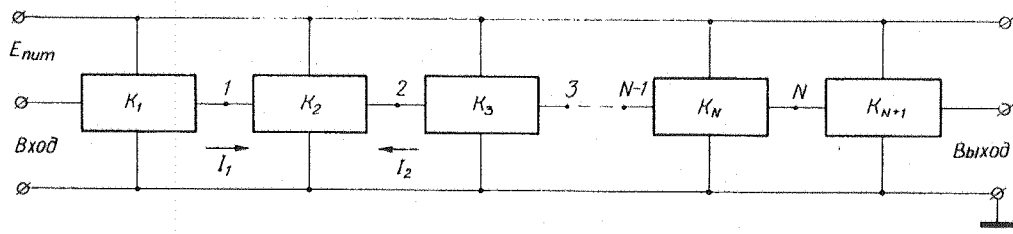


Рис. 2

моделей обобщенных компонентов выглядит следующим образом:

1. На k -м шаге итераций $Y^{(k)}$ определяет значения напряжений на выводах всех ОК в соответствии с матрицей межсоединений S для всей схемы.

2. Решается система уравнений (1) для первого обобщенного компонента ОК₁ при фиксированном векторе $X_{\text{вн}}^{(k)}$, причем формирование матриц G_1 ($X, X_{\text{вн}}$) и $\frac{\partial G_1}{\partial X}$ производится в соответствии с матрицей межсоединений M_1 ОК данного типа.

3. Вычисляются значения токов I через выводы обобщенного компонента ОК₁ и производные токов по напряжениям в соответствии с (3). Вычисленные значения в соответствии с матрицей S включаются в элементы матриц F и $\left(\frac{\partial F}{\partial Y}\right)^{(k)}$.

4. Пункты 1–3 повторяются для всех обобщенных компонентов. В результате формируются матрицы

$$F(Y^{(k)}) \text{ и } \left(\frac{\partial F}{\partial Y}\right)^{(k)}.$$

5. С их помощью вычисляется следующее приближение $Y^{(k+1)}$ и повторяются пункты 1–5.

Такой подход делает реальным моделирование БИС, так как значительно сокращаются требуемые объемы памяти и временные затраты.

Следствием полной автоматизации составления уравнений для анализа БИС является простота описания математической модели всей схемы, особенно в тех случаях, когда в них можно выделять однотипные ОК, что часто имеет место в БИС. В последнем случае получаем дополнительный выигрыш в памяти за счет уменьшения размеров матриц межсоединений (примеры схем на рис. 1, 2).

Оценить выигрыш в памяти, например, для схемы на рис. 2 можно из следующих соображений. Если бы мы не выделяли типовые участки, нам нужно было бы решать систему трансцендентных уравнений порядка

$$N_1 = l(N + 1) + N. \quad (5)$$

где l — число внутренних узлов в ОК. С учетом того, что объем требуемой памяти ЭВМ определяется в основном квадратной матрицей проводимостей, экономия памяти при разбиении схем на подсхемы определяется разностью

$$N_1^2 - N^2 - l^2 = l^2 N^2 + 2l^2 N + 2N^2 l + 2lN. \quad (6)$$

Следует также указать, что можно не проводить для решения (1) весь итерационный процесс, а делать лишь одну итерацию

$$X^{(k)} = \tilde{X}^{(k)} + \Delta X^{(k)}, \quad (7)$$

после чего вычислять $\frac{\partial G}{\partial X}$, $\frac{\partial G}{\partial y}$ и затем $\frac{\partial X}{\partial y}$ для (3), беря в качестве начального приближения для итерации при $Y^{(k+1)}$ или

$$\tilde{X}^{(k+1)} = X^{(k)}$$

$$\tilde{X}^{(k+1)} = X^{(k)} + \frac{\partial X}{\partial y} \Delta y^{(k)}.$$

Оценить изменение времени машинного счета в результате разбиения БИС на составные компоненты можно путем сравнения вычислительных затрат на решение систем линейных уравнений на каждом итерационном шаге. В последнем случае решаются $N+1$ системы порядка l и одна система N -го порядка (для схемы на рис. 2). Если бы подсхемы не выделялись, то на каждом шаге итерации необходимо было бы решать линейную систему порядка N_1 . Число мультипликативных операций в этом случае пропорционально примерно $\frac{1}{3} N_1^3$. Учитывая (5), можно получить, что число операций типа умножения на каждом шаге итерационного процесса уменьшается примерно на $\frac{1}{3} l^3 N^3$.

Для расчета динамических режимов необходимо решить систему обыкновенных дифференциальных уравнений:

$$F(\dot{Y}, Y, t) = 0, \quad (8)$$

где F — система уравнений, описывающая модель всей схемы; Y — вектор потенциалов в узлах ОК; \dot{Y} — вектор производных Y по времени; t — время.

Способ построения математической модели схемы при автоматизации составления моделей ОК аналогичен описанному способу для статического режима. Элементы требуемых для расчета матриц, соответствующие внешним по отношению к ОК узлам (всей схеме), автоматически определяются через вычисленные значения во внутренних узлах ОК (узлах многочленных подсхем).

Некоторые особенности расчета переходных процессов показаны на примере неявных методов интегрирования системы уравнений (8), описанных в [3, 4]. В этом случае нужно на каждом шаге вычислять F , а также матрицы $\frac{\partial F}{\partial Y}$ и $\frac{\partial F}{\partial \dot{Y}}$. Вычисление F принципиально не отличается от статического случая. Матрицы $\frac{\partial F}{\partial Y}$ и $\frac{\partial F}{\partial \dot{Y}}$ формируются после обращения к обобщенным компонентам из элементов $\frac{\partial I}{\partial y}$ и $\frac{\partial I}{\partial \dot{y}}$ (I — токи через выводы обобщенного компонента), которые, в свою очередь, определяются следующим образом:

$$\frac{dI}{dy} = \frac{\partial I}{\partial X} \cdot \frac{\partial X}{\partial y} + \frac{\partial I}{\partial \dot{X}} \cdot \frac{\partial \dot{X}}{\partial y} + \frac{\partial I}{\partial y}; \quad (9)$$

$$\frac{dI}{d\dot{y}} = \frac{\partial I}{\partial X} \cdot \frac{\partial X}{\partial \dot{y}} + \frac{\partial I}{\partial \dot{X}} \cdot \frac{\partial \dot{X}}{\partial \dot{y}} + \frac{\partial I}{\partial \dot{y}}. \quad (10)$$

Здесь X — по-прежнему вектор узловых потенциалов на внутренних узлах составного компонента, а \dot{X} — производные по времени на этих узлах. Отсюда видно, что нужно уметь вычислять матрицы $\frac{\partial X}{\partial y}$, $\frac{\partial \dot{X}}{\partial y}$, $\frac{\partial X}{\partial \dot{y}}$ и $\frac{\partial \dot{X}}{\partial \dot{y}}$. Эти производные находятся при решении уравнений, полученных дифференцированием системы:

$$G_j(\dot{X}, X, \dot{X}_{\text{вн}}, X_{\text{вн}}, t) = 0, \quad (11)$$

описывающей модель j -го ОК (в вектор $X_{\text{вн}}$ входят, как и прежде, компоненты вектора Y , обозначенные y):

$$\frac{\partial G}{\partial \dot{X}} \cdot \frac{d}{dt} \left(\frac{\partial X}{\partial y} \right) + \frac{\partial G}{\partial X} \left(\frac{\partial X}{\partial y} \right) + \frac{\partial G}{\partial y} = 0; \quad (12)$$

$$\frac{\partial G}{\partial \dot{X}} \cdot \frac{d}{dt} \left(\frac{\partial \dot{X}}{\partial \dot{y}} \right) + \frac{\partial G}{\partial X} \left(\frac{\partial \dot{X}}{\partial \dot{y}} \right) + \frac{\partial G}{\partial \dot{y}} = 0. \quad (13)$$

Эти дифференциальные уравнения интегрируются одновременно с (11), так как при решении (11), (12), (13) используются одинаковые матрицы коэффициентов $\frac{\partial G}{\partial X}$

и $\frac{\partial G}{\partial \dot{X}}$. Начальные условия для интегрирования систем

(12) и (13) выбираются из соображений, что $\dot{X}=0$ при $t=0$. Тогда, дифференцируя систему (11), получим

$$\frac{\partial G}{\partial X} \cdot \frac{\partial X}{\partial y} + \frac{\partial G}{\partial y} = 0, \quad (14)$$

откуда находится $\frac{\partial X}{\partial y}$. Аналогично из системы

$$\frac{\partial G}{\partial X} \cdot \frac{\partial \dot{X}}{\partial \dot{y}} + \frac{\partial G}{\partial \dot{y}} = 0 \quad (15)$$

определяется $\frac{\partial \dot{X}}{\partial \dot{y}}$ в момент $t=0$.

Таким образом, алгоритм интегрирования (8) выглядит следующим образом:

1. Прогноз

$$\begin{aligned} \tilde{Y}^{(k+1)} &= Y^{(k)} + h \dot{Y}^{(k)} & \tilde{\dot{Y}}^{(k+1)} &= \dot{Y}^{(k)} \\ \tilde{X}^{(k+1)} &= X^{(k)} + h \dot{X}^{(k)} & \tilde{\dot{X}}^{(k+1)} &= \dot{X}^{(k)}. \end{aligned} \quad | \quad (16)$$

Здесь h — выбранный шаг. Одновременно по таким же формулам прогнозируется значение независимых переменных и их производных для систем (12) и (13).

2. Вычисление матриц

$$G(\dot{X}, X, t_j), \frac{\partial G}{\partial X}, \frac{\partial G}{\partial \dot{X}}, \frac{\partial G}{\partial y}, \frac{\partial G}{\partial \dot{y}}.$$

Следует иметь в виду, что матриц G столько, сколько обобщенных компонентов. Здесь указана одна для упрощения записи.

3. Коррекция по внутренним узлам ОК:

$$\left(\frac{\partial G}{\partial X} + \frac{\partial G}{\partial \dot{X}} h \right) \Delta \dot{X} = -G(\dot{X}, \tilde{X}, t_j). \quad (17)$$

Здесь Δ означает искомую поправку.

Одновременно вычисляются поправки

$$\Delta \left(\frac{d}{dt} \frac{\partial X}{\partial y} \right) \text{ и } \Delta \left(\frac{d}{dt} \frac{\partial \dot{X}}{\partial \dot{y}} \right). \quad | \quad (18)$$

$$\dot{X}^{(k+1)} = \tilde{X}^{(k+1)} + \Delta; X^{(k+1)} = \tilde{X}^{(k+1)} + h \Delta.$$

Аналогично определяются скорректированные значения

$$\left(\frac{d}{dt} \frac{\partial X}{\partial y} \right)^{(k+1)}, \left(\frac{\partial X}{\partial y} \right)^{(k+1)}, \left(\frac{d}{dt} \frac{\partial \dot{X}}{\partial \dot{y}} \right)^{(k+1)}, \left(\frac{\partial \dot{X}}{\partial \dot{y}} \right)^{(k+1)}.$$

4. Формирование матриц $\frac{\partial F}{\partial Y}$ и $\frac{\partial F}{\partial \dot{Y}}$ по формулам

(9) и (10).

5. Коррекция по внешним для обобщенных компонентов узлам (производится аналогично формулам (17) и (18)).

Литература

1. В. М. Бондаренко, Вопросы анализа нелинейных цепей, изд-во «Наукова думка», К., 1967.
2. В. П. Сигорский, А. И. Петренко, Алгоритмы анализа электронных схем, изд-во «Техніка», К., 1970.
3. Брайтон, Густавсон, Хэтчел, Новый эффективный алгоритм решения алгебраических систем дифференциальных уравнений, ТИИЭР, т. 60, № 1, 1972.
4. М. М. Гурарий, Д. И. Зарудный, Моделирование на ЭЦВМ динамических режимов переключательных интегральных схем.— В сб. «Электронная техника», серия VI. Микроэлектроника, 1971, 5.

Поступила в редакцию 23. V 1973